

# **Messung der temperaturabhängigen Ausdehnung mit Hilfe eines Michelson-Interferometers**

**PPG8**

Udo Beier      Leon Brückner      Valentin Olpp      Marco Zech  
Sebastian Ziegler

November 2013

## Inhaltsverzeichnis

<b>1</b>	<b>Vorwort</b>	<b>3</b>
<b>2</b>	<b>Theorie</b>	<b>3</b>
2.1	Kohärenzlänge und Kohärenzzeit . . . . .	3
2.2	Interferenz zweier Lichtstrahlen . . . . .	4
2.3	Das Michelson-Interferometer . . . . .	5
2.4	Thermische Längenänderung . . . . .	6
2.5	Überlegungen zu Wärmeleitung und Konvektion . . . . .	6
<b>3</b>	<b>Versuchsaufbau</b>	<b>8</b>
<b>4</b>	<b>Versuchsdurchführung</b>	<b>11</b>
4.1	Messung . . . . .	11
4.2	Probleme . . . . .	11
<b>5</b>	<b>Darstellung der Ergebnisse und Auswertung</b>	<b>11</b>
5.1	Darstellung der Ergebnisse . . . . .	11
5.2	Auswertung . . . . .	14
5.2.1	Einteilung der Messwerte in Fraktionen . . . . .	14
5.2.2	Berechnung des Ausdehnungskoeffizienten durch approximatives Fitten . . . . .	18
5.3	Fazit . . . . .	21

## Abbildungsverzeichnis

1	Darstellung der Interferenz zwischen zwei verkippten Wellenfronten . . . .	7
2	Skizze des Versuchsaufbaus, nicht maßstabsgetreu . . . . .	10
3	Anzahl der innerhalb von 10s druchgelaufenen Ringe in Abhängigkeit der Zeit . . . . .	13
4	Temperatur in Abhängigkeit der Zeit . . . . .	14
5	Einteilung in Fraktionen . . . . .	16
6	Wärmeausdehnungskoeffizient in Abhängigkeit der Temperatur . . . . .	17
7	Fit von $dN/dt$ . . . . .	19
8	Fit von $T(t)$ . . . . .	20
9	Vergleich zwischen Methode 1 und 2 . . . . .	21

# 1 Vorwort

Ursprünglich wurde das Michelson-Morley-Interferometer von Albert Abraham Michelson (1852 - 1931) und Edward William Morley (1838 - 1923) verwendet, um die Existenz eines Äthers, also eines möglicherweise existierenden Trägermediums von elektromagnetischen Wellen, zu überprüfen. Gäbe es einen solchen Äther, so müsste sich das Labor aufgrund der Erdrotation ebenfalls durch den Äther bewegen und zwar in wechselnder Richtung. Nach dem in der Theorie beschriebenen Aufbau würde dies eine Änderung des zu beobachtenden Interferenzmusters bewirken. Tatsächlich konnte unter korrekter Ausführung dieses Versuches allerdings niemals eine solche Verschiebung festgestellt werden, sodass die Idee des Äthers schließlich fallen gelassen werden musste. Dementsprechend bewegt sich das Licht unabhängig vom Bezugssystem des Beobachters immer mit der Lichtgeschwindigkeit  $c$ , was auch als Einsteinsches Relativitätsprinzip bekannt ist. Der Grund dafür ist schlicht, dass es die wesentliche Abänderung des Verständnisses von Raum und Zeit darstellt, welches schließlich zur Lorentz-Transformation und der speziellen Relativitätstheorie führte. Somit kommt diesem Experiment eine herausragende Rolle in der Entwicklung der modernen Physik zu.

## 2 Theorie

### 2.1 Kohärenzlänge und Kohärenzzeit

Unter der Kohärenzlänge einer Lichtquelle versteht man die Länge, um die sich die durchlaufenen Wege zweier von der selben Lichtquelle stammenden Strahlen maximal unterscheiden dürfen, sodass noch eine räumlich und zeitlich konstante Interferenz zu beobachten ist. Grund hierfür ist, dass einige Lichtquellen keine über längere Zeit exakte Sinusschwingung liefern, sondern sich mit der Zeit ein „Versatz“ der Phase herausbildet. Es ist also nicht mehr möglich, für eine Länge zwischen einem Maximum und einem weiteren Punkt auf dem Wellenzug, die zwar einem Vielfachen der Wellenlänge entspricht, aber auch die Kohärenzlänge überschreitet, wiederum auf ein Maximum zu schließen. Die Kohärenzzeit bezeichnet die maximale Zeitdifferenz zwischen zwei Punkten auf dem Wellenzug, deren Abstand kleiner als die Kohärenzlänge ist, und ergibt sich deshalb im Vakuum zu

$$t_K = \frac{l_k}{c}, \quad (1)$$

wobei hier  $t_K$  die Kohärenzzeit,  $l_k$  die Kohärenzlänge und  $c$  die Lichtgeschwindigkeit bezeichnet.

Bei Lasern ist die Kohärenzlänge meist verhältnismäßig groß und kann mehrere Kilometer erreichen, wohingegen bei anderen Lichtquellen, die etwa auf thermischer Emission beruhen, nur sehr kleine Kohärenzlängen erreicht werden. So liegt diese bei Glühlampen im Bereich von Mikrometern.

## 2.2 Interferenz zweier Lichtstrahlen

Werden zwei Lichtstrahlen, die in gleicher Richtung polarisiert sind, überlagert, so ergibt sich die tatsächliche Lichteinstrahlung durch Addition der beiden elektrischen Felder an diesem Ort. Seien  $\vec{E}_1$  und  $\vec{E}_2$  die elektrischen Felder des einfallenden Lichts mit:

$$\vec{E}_1 = \vec{e}_p \cdot E_1 \cdot e^{i(\omega_1 t - k_1 \cdot r + \phi_1)} \quad (2)$$

und

$$\vec{E}_2 = \vec{e}_p \cdot E_2 \cdot e^{i(\omega_2 t - k_2 \cdot r + \phi_2)}. \quad (3)$$

Dabei sind  $E_1, E_2$  die Amplituden beider Felder,  $\omega_1, \omega_2$  die Frequenzen der beiden Schwingungen,  $r_1, r_2$  die zurückgelegten Wege der beiden Lichtstrahlen,  $k_1, k_2$  die Beträge des Wellenvektors  $\vec{k}$ , der in Ausbreitungsrichtung zeigen soll und  $\vec{e}_p$  der Einheitsvektor in Richtung der Polarisation. Weiter sind  $\phi_1$  und  $\phi_2$  die Phasen des elektrischen Feldes bei  $r_1, r_2, t = 0$ .

Als Summe über beide Felder ergibt sich zeitabhängig:

$$\vec{E}_1 + \vec{E}_2 = \vec{e}_p \cdot (E_1 \cdot e^{i(\omega_1 t - k_1 \cdot r_1 + \phi_1)} + E_2 \cdot e^{i(\omega_2 t - k_2 \cdot r_2 + \phi_2)}). \quad (4)$$

Mit  $\varphi_1 = -k_1 \cdot r_1 + \phi_1$  und  $\varphi_2 = -k_2 \cdot r_2 + \phi_2$  ergibt sich:

$$\vec{E} = \vec{E}_1 + \vec{E}_2 = \vec{e}_p \cdot (E_1 \cdot e^{i(\omega_1 t + \varphi_1)} + E_2 \cdot e^{i(\omega_2 t + \varphi_2)}). \quad (5)$$

Die Lichtintensität  $I$  ist bekanntlich proportional zum zeitlichen Mittel von  $|\vec{E}_{reell}|^2$  über eine Schwingung, deshalb:

$$|\vec{E}_{reell}|^2 = |(\vec{e}_p \cdot (E_1 \cdot \cos(\omega_1 t + \varphi_1) + E_2 \cdot \cos(\omega_2 t + \varphi_2)))|^2 = (E_1 \cdot \cos(\omega_1 t + \varphi_1) + E_2 \cdot \cos(\omega_2 t + \varphi_2))^2 =$$

$$E_1^2 \cdot \cos^2(\omega_1 t + \varphi_1) + 2E_1 E_2 \cdot \cos(\omega_1 t + \varphi_1) \cdot \cos(\omega_2 t + \varphi_2) + E_2^2 \cdot \cos^2(\omega_2 t + \varphi_2). \quad (6)$$

Die beiden quadratischen Terme können als Feldstärkequadrate der einzelnen Strahlen identifiziert werden, es bleibt der Mischterm:

$$2E_1 E_2 \cdot \cos(\omega_1 t + \varphi_1) \cdot \cos(\omega_2 t + \varphi_2) = E_1 E_2 \cdot (\cos(t(\omega_1 + \omega_2) + \varphi_1 + \varphi_2) + \cos(t(\omega_1 - \omega_2) + \varphi_1 - \varphi_2)). \quad (7)$$

Für  $\omega_1 = \omega_2$  (und damit auch  $k_1 = k_2$ ) kann dies weiter vereinfacht werden zu:

$$E_1 E_2 \cdot (\cos(2\omega t + \varphi_1 + \varphi_2) + \cos(\varphi_1 - \varphi_2)), \quad (8)$$

für  $\omega_1 \neq \omega_2$  würde sich im längerfristigen zeitlichen Mittel über dem Mischterm 0 ergeben, da beide Summanden zeitabhängig wären.

Mittelt man nun über  $|\vec{E}_{reell}|^2$ , so folgt:

$$< |\vec{E}_{reell}|^2 > =$$

$$< E_1^2 \cdot \cos^2(\omega_1 t + \varphi_1) + E_2^2 \cdot \cos^2(\omega_2 t + \varphi_2) + E_1 E_2 \cdot (\cos(2\omega t + \varphi_1 + \varphi_2) + \cos(\varphi_1 - \varphi_2)) > =$$

$$\begin{aligned} & \frac{E_1^2}{2} + \frac{E_2^2}{2} + E_1 E_2 \cdot \cos(\varphi_1 - \varphi_2) = \\ & \frac{E_1^2}{2} + \frac{E_2^2}{2} + E_1 E_2 \cdot \cos(k \cdot (r_2 - r_1) + \phi_1 - \phi_2). \end{aligned} \quad (9)$$

Bezeichnen  $I_1, I_2$  die Intensitäten der einfallenden Lichtstrahlen, so ergibt sich über  $I = \mu < |\vec{E}_{reell}|^2 >$ :

$$I = I_1 + I_2 + 2\sqrt{I_1 I_2} \cdot \cos(k \cdot (r_2 - r_1) + \phi_1 - \phi_2). \quad (10)$$

### 2.3 Das Michelson-Interferometer

Das Michelson-Interferometer gehört zur Klasse der Zweistrahlinterferometer. Seine Funktionsweise beruht darauf, dass ein polarisierter Laserstrahl mit Hilfe eines halbdurchlässigen Spiegels aufgespalten wird (siehe dazu Abb. ...). Beide Strahlen werden gespiegelt und so wieder am halbdurchlässigen Spiegel vereinigt. Aufgrund der unterschiedlich großen zurückgelegten Wegstrecken kommt es dort zu Interferenzeffekten, die vom genauen Aufbau des Interferometers abhängen.

Verändert man die Länge von einem der beiden Wege, so ändert sich auch die Phasenverschiebung zwischen beiden Lichtstrahlen und nach (10) auch die Intensität der interferierenden Strahlen und bildet eine sinusförmige Kurve. Durch Beobachtung der Verschiebung der Interferenzen kann also auf die Geschwindigkeit geschlossen werden, mit der sich die Länge des einen Weges ändert: Hat sich das Interferenzmuster genau um  $2\pi$  verschoben, so hat sich nach (10)  $k \cdot \Delta r$  um  $2\pi$  vergrößert oder verkleinert. Sei  $v$  die Geschwindigkeit, mit der der Spiegel 1 in Strahlrichtung vom Strahlteiler wegbewegt wird, so folgt:

$$\frac{dr_1}{dt} = 2v. \quad (11)$$

Sei  $f$  die „Frequenz“ der Schwingung der Interferenz, also die Frequenz des  $\cos$  in (10), dann gilt:

$$f = \frac{1}{T} = \frac{dr_1}{dt} \cdot \frac{1}{\lambda} = 2\frac{v}{\lambda}, \quad (12)$$

wobei  $\lambda$  die Wellenlänge des verwendeten Lasers ist. Somit kann für eine sehr langsame Ausdehnung deren Geschwindigkeit bestimmt werden zu:

$$v = \frac{f \cdot \lambda}{2} \quad (13)$$

Weiterhin kann das vom Laser emittierte Strahlenbündel durch Einbringen von einer oder mehrerer Linsen zu einem divergenten Strahl oder einem breiteren, parallelen Strahlenbündel gewandelt werden. Oftmals geschieht dies mit Hilfe eines „Teleskops“, bei dem das Strahlenbündel eine Kombination aus konkaver und konvexer Linse durchläuft und danach parallel austritt. Im Falle eines zu Beginn ebenfalls parallelen Strahlenbündels, wie es vom Laser in guter Näherung emittiert wird, müssen dazu offenbar die beiden

Brennpunkte aufeinander fallen.

Die beobachtbaren Interferenzeffekte hängen maßgeblich von der genauen Ausrichtung der optischen Elemente im Strahlengang ab: Sind etwa die reflektierenden Spiegel nicht exakt senkrecht zum einfallenden Strahl ausgerichtet oder der halbdurchlässige Spiegel nicht in einem Winkel von exakt  $45^\circ$  zum einfallenden Strahl justiert, so führt diese Verkippung der Spiegel zu deutlich sichtbaren Interferenzstreifen, da die Wellenfronten der beiden interferierenden Strahlen dann nicht parallel auf den Schirm treffen. (Abb. 1: Die Differenz zwischen den beiden gestrichelten Strecken entspricht dem Phasenversatz zwischen den beiden Wellen an dem entsprechenden Punkt auf dem Schirm. Der Versatz ändert sich in der Horizontalen.) Treffen sich weiter die beiden Strahlbündel bei Vereinigung auf dem halbdurchlässigen Spiegel nicht mittig am gleichen Punkt, so beobachtet man sehr deutlich Interferenzringe, da sich die Laufzeiten bei Verschieben des betrachteten Punkts unterschiedlich ändern.

## 2.4 Thermische Längenänderung

Wird ein Material erhitzt, so dehnt es sich in den meisten Fällen aus. Dies kann im Standard-Atom-Modell für einen Feststoff veranschaulicht werden: Wird dem Stoff thermische Energie zugeführt, bedeutet dies effektiv eine Zunahme der kinetischen Energie der Atomrümpfe. Dadurch nimmt die Amplitude von deren Schwingung um die Ruhelage zu und es kommt effektiv zu einer „Streckung“ des Materials in alle Raumrichtungen. Eine exakte Beschreibung ist tatsächlich deutlich komplizierter und erfordert die Verwendung von Quantenmechanik. Im Allgemeinen ergibt sich kein einfacher Verlauf für  $l(T)$ , allerdings kann die Längenänderung für einen bestimmten Temperaturbereich durch einen linearen Verlauf angenähert werden:

$$\frac{\Delta l}{l_0} = \alpha \cdot (T - T_0), \quad (14)$$

wobei  $l_0$  die eindimensionale Ausdehnung bei der Temperatur  $T_0$  ist.  $\alpha$  heißt der Längenausdehnungskoeffizient und ist insbesondere vom Material abhängig.

## 2.5 Überlegungen zu Wärmeleitung und Konvektion

Für den Wärmestrom  $\vec{j}$  innerhalb eines Materials gilt:

$$\vec{j} = -\kappa \cdot \nabla T, \quad (15)$$

wobei hier  $\kappa$  der Wärmeleitungskoeffizient ist sowie  $T$  die dreidimensionale Temperaturfunktion innerhalb des Materials.

Weiter ergibt sich über

$$\int dt \int_{\partial V} -\vec{j} d\vec{f} = \int dt \int_V -\nabla \cdot \vec{j} dV = Q = m \cdot c \cdot \Delta T = \int_V \rho dV \cdot c \cdot \Delta T \quad (16)$$

mit  $c$  als massebezogene Wärmekapazität,  $m$  als Masse,  $\rho$  als Dichte. Durch Umschreiben in differenzielle Form folgt:



Abbildung 1: Darstellung der Interferenz zwischen zwei verkippten Wellenfronten

$$\nabla \cdot \vec{j} = \rho \cdot c \cdot \frac{\partial T}{\partial t} \quad (17)$$

und nach Einsetzen in 15:

$$\frac{\partial T}{\partial t} = \frac{\kappa}{\rho \cdot c} \Delta T, \quad (18)$$

wobei hier  $\Delta$  den Laplace-Operator darstellt.

Ein weiterer Effekt bei der Übertragung von Wärme ist die Konvektion. Diese bezeichnet allgemein den Transport von Wärme durch Strömungen in Flüssigkeiten oder Gasen. Die Konvektion lässt sich im Allgemeinen nur sehr schwer exakt beschreiben, da die Grundlage hierfür von der Navier-Stokes-Gleichung gebildet wird, die bis heute nicht allgemein gelöst wurde. Nach (einer Quelle die noch gefunden werden muss) gilt allerdings für den Wärmetransport von einem Gegenstand weg innerhalb eines Gases/ einer Flüssigkeit:

$$\frac{dQ}{dt} \sim \Delta T, \quad (19)$$

wobei  $\Delta T$  die Differenz zwischen der Oberflächentemperatur des Gegenstandes und der Temperatur der Flüssigkeit/ des Gases ist. Nimmt man an, dass der Wärmeleitungskoeffizient innerhalb des Gegenstandes relativ hoch ist, was im Falle von Metall durchaus gerechtfertigt ist, so kann dessen Temperatur als konstant innerhalb des Gegenstandes angenommen werden. Im hier durchgeführten Experiment soll die Erwärmung eines Metallstabes von etwa  $-130^\circ C$  auf Raumtemperatur untersucht werden. Somit ergibt sich:

$$\frac{dQ}{dt} \sim \frac{T_M}{dt} \sim (T_M - T_R). \quad (20)$$

Als Lösung einer derartigen Differentialgleichung ergibt sich bekanntlich eine e-Funktion  $k \cdot e^{\alpha \cdot t}$ , auf die Bestimmung der Koeffizienten  $k$  und  $\alpha$  soll hier nicht weiter eingegangen werden.

### 3 Versuchsaufbau

Das Interferometer wurde auf einem schwingungsgedämpften optischen Tisch aufgebaut, als Lichtquelle wurde ein HeNe-Laser mit Wellenlänge  $\lambda = 633nm$  verwendet. Der Lichtstrahl wurde durch einen Teleskopaufbau, bestehend aus einer Zerstreuungslinse mit Brennpunkt  $f = -30.0mm$  und einer Sammellinse mit Brennpunkt  $f = 200.0mm$ , die im Abstand von 17 cm zueinander aufgestellt wurden, aufgeweitet. Durch den Teleskopaufbau wird der Strahl zunächst aufgeweitet und dann wieder zu einem Parallelstrahl zusammengeführt. Dies ist notwendig, da eine zu starke Aufweitung bzw. Divergenz des Strahls eine Messung oder Zählung unmöglich machen würde, da der Kontrast des Interferenzbildes dadurch zu gering wäre. Nach dem Teleskopaufbau wurde der Strahl zunächst über zwei Spiegel parallel zur Tischebene ausgerichtet und dann in den halbdurchlässigen Spiegel geleitet. Der transmittierte Anteil des Strahls traf auf einen fest montierten Spiegel, der



reflektierte Anteil traf auf einen auf einer Schiene beweglich montierten Spiegel. Hinter dem beweglichen Spiegel wurde der Edelstahlstab (Werkstoffnummer 1.4301), dessen Länge zu  $l = 28.9 \pm 0.1 \text{ cm}$  gemessen wurde, eingespannt. In den Stab wurde ein kleines Loch gebohrt, sodass ein Temperaturfühler die Kerntemperatur des Stabes messen konnte. Der Temperaturfühler wurde an ein Sensor-CASSY 2 angeschlossen und die Messwerte über CASSYLab ausgelesen. Das entstehende Interferenzmuster wurde schließlich noch durch eine Zerstreuungslinse mit Brennpunkt  $f = -100.0 \text{ mm}$  aufgeweitet, um es besser sichtbar zu machen und auf eine Wand abgebildet.

hier müssten noch ein foto vom versuchsaufbau und ein foto von den laserstrahlen rein

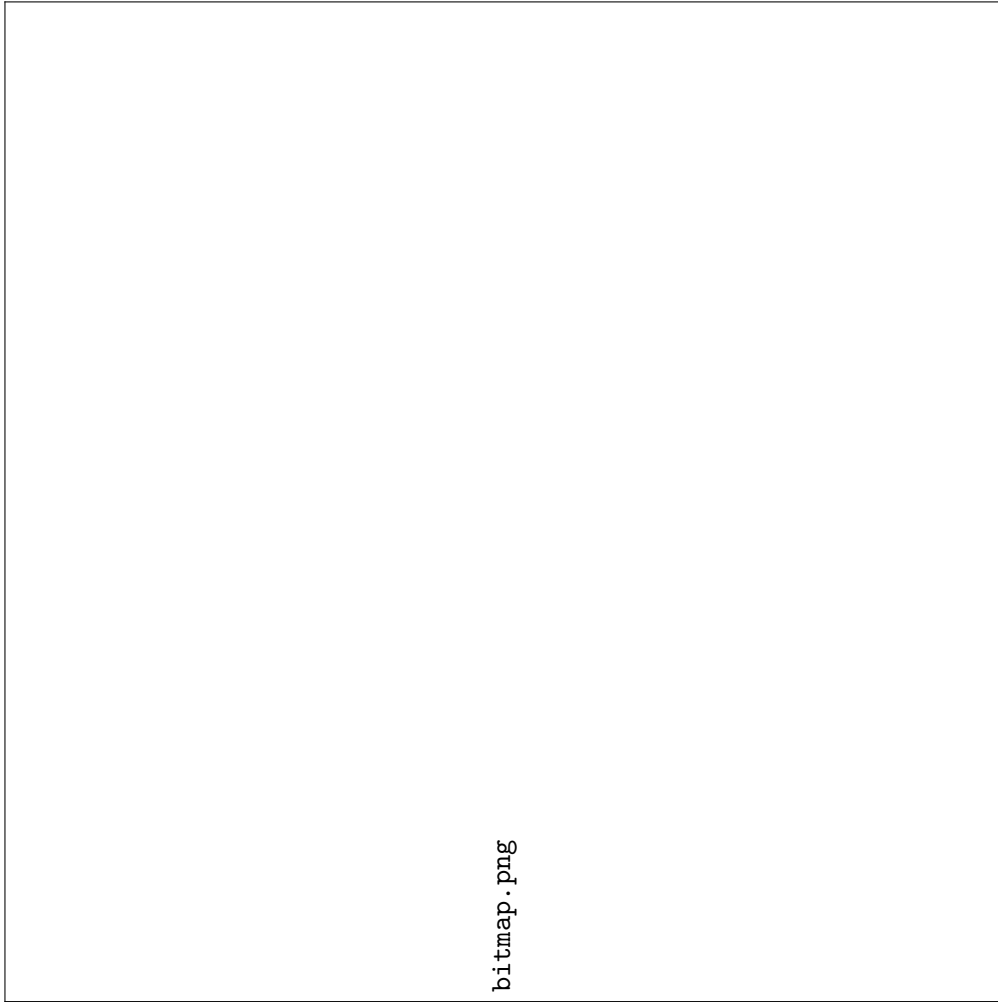


Abbildung 2: Skizze des Versuchsaufbaus, nicht maßstabgetreu

## 4 Versuchsdurchführung

### 4.1 Messung

Der Edelstahlstab wurde in ein Bad aus flüssigem Stickstoff ( $T = -180^\circ\text{C}$ ) eingetaucht, aufgrund des Leidenfrost-Effekts war jedoch eine Abkühlung bis zu dieser Temperatur nicht möglich. Die Messung wurde bei einer gemessenen Temperatur von  $T = -130^\circ\text{C}$  begonnen. Diese Art der Temperaturänderung des Stabs wurde gewählt, da die Ausdehnung des Stabs durch Aufheizung aus der Umgebungsluft vermutlich gleichmäßiger ist als z.B. durch Aufheizen des Stabs mittels Heizdraht o.Ä..

Die Messung bestand daraus, die an einem Referenzpunkt an der Wand 'vorbeilaufenden' Maxima zu zählen. Die Zählung aller Maxima wäre stark fehleranfällig gewesen, also wurden die Maxima in 10-Sekunden-Intervallen gezählt, d.h. die Anzahl der Maxima, die innerhalb von 10 Sekunden am Referenzpunkt vorbeiliefen, wurde gezählt und notiert, nach weiteren 10 Sekunden begann die nächste Zählung, etc.

### 4.2 Probleme

Die Durchführung des Versuchs gestaltete sich insgesamt schwierig. Das Interferenzmuster war trotz schwingungsgedämpftem Aufbau anfällig gegen Erschütterungen. Auch eine sehr genaue Justierung des Interferometers war notwendig, da schon kleinste Verkippungen der Spiegel zusätzliche Streifenmuster erzeugten, die sich mit dem eigentlichen, d.h. durch den Strahlteiler erzeugten, Interferenzmuster überlagerten.

Ursprünglich war eine elektronische Messung mit CASSY geplant, bei der das Interferenzmuster auf den Sensor einer Fotodiode abgebildet werden sollte, sodass aus den Spannungsmaxima und -minima die Interferenzmaxima und -minima erkennbar sein sollten. In der Praxis war dies jedoch fast unmöglich, da die Ausschläge aufgrund der geringen Intensität des Lichts nach Aufweitung und Durchgang durch den Strahlteiler so gering waren, dass sie selbst bei maximaler Verstärkung an der Diode quasi nicht vom Grundrauschen der Diode unterscheidbar waren. Dies konnte zwar durch geringere Aufweitung (Teleskopaufbau) teilweise behoben werden (d.h. auf einem Oszilloskop waren die Maxima und Minima deutlich zu erkennen), bei einer probeweise durchgeführten Messung mit CASSY waren die Daten jedoch nicht verwertbar, auch bei einer zweiten Messung mit höherer zeitlicher Auflösung waren keine klaren Ausschläge zu erkennen, sodass die Messung schließlich doch per Hand durchgeführt wurde.

## 5 Darstellung der Ergebnisse und Auswertung

### 5.1 Darstellung der Ergebnisse

Mit der oben beschriebenen Messmethode, wurden folgende Werte gemessen:

Beim Betrachten von 3 fällt sofort auf, dass die Messwerte bei großen Werten von  $dN/dt$  wesentlich mehr streuen, was darauf zurückzuführen ist, dass das Zählen der Ringe bei größeren Werten von  $dN/dt$  mehr Schwierigkeiten bereitet hat. Eine Tabelle der

t in s	dN/dt in 1/10s
20	34
40	29
60	32
80	28
100	31
120	25
140	28
160	24
180	27
200	24
220	32
240	25
260	24
280	27
300	26
320	25
340	27
420	29
440	29
460	26
480	25
500	26
560	26
580	22
600	25
620	22
640	21
660	20
680	23
700	21
760	22
780	20
800	24
820	22
840	24
860	23
880	22
900	20
920	22
940	20
960	21
980	22
1000	18
1080	19
1100	19
1120	18
1160	17
1180	16
1200	18
1220	18
1240	16
1260	17
1280	15
1300	16

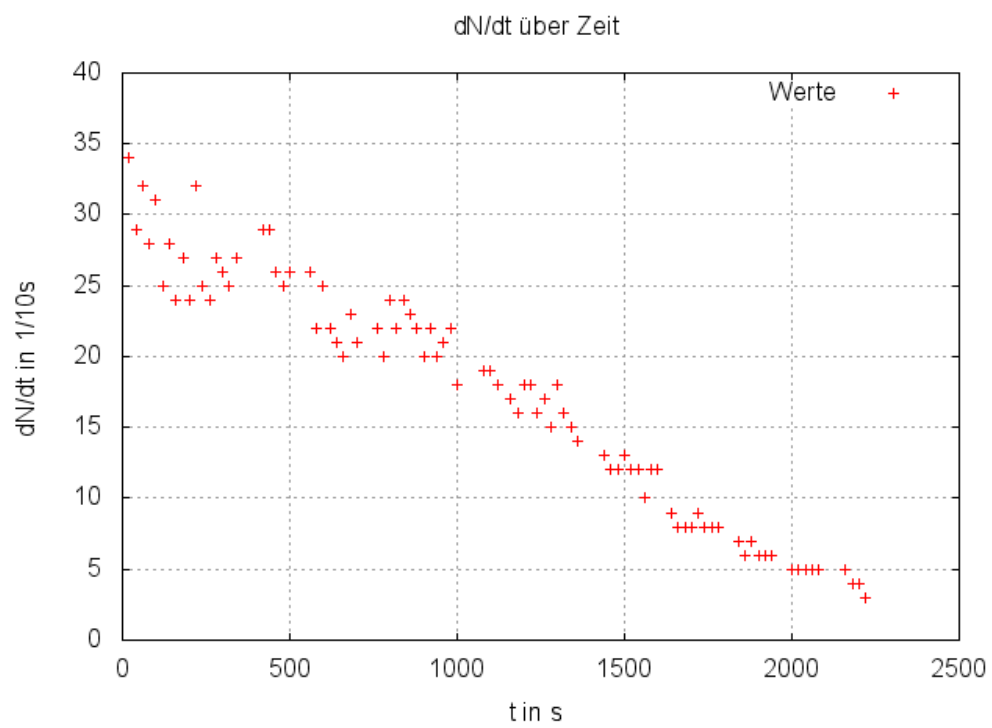


Abbildung 3: Anzahl der innerhalb von 10s durchgelaufenen Ringe in Abhängigkeit der Zeit

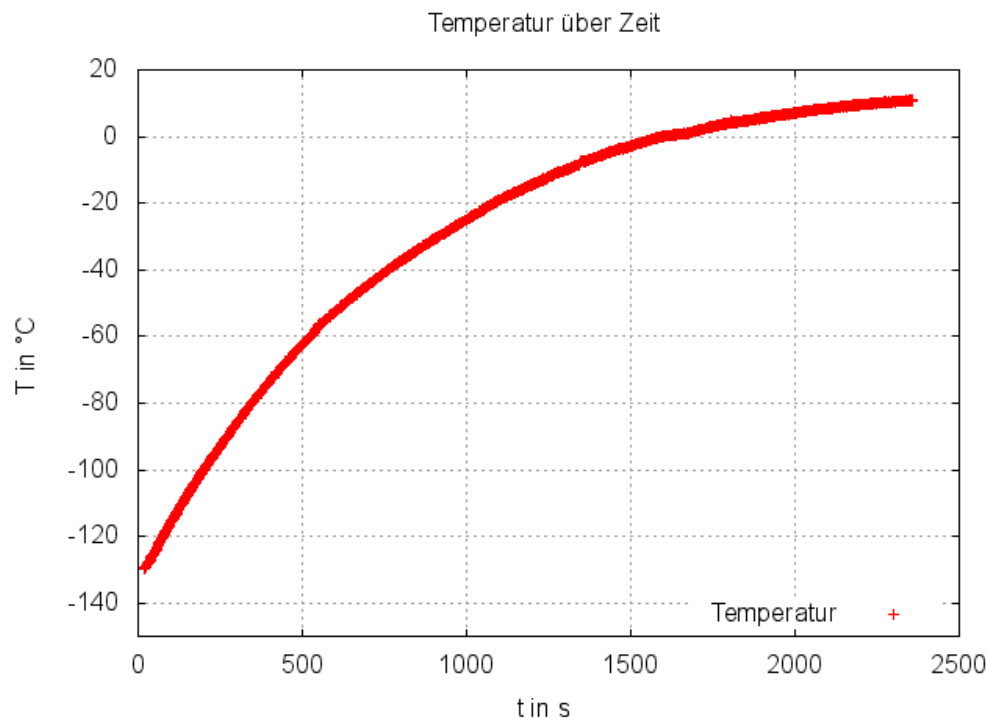


Abbildung 4: Temperatur in Abhängigkeit der Zeit

Temperatur des Stabes in Abhängigkeit der Zeit ist im Anhang zu finden.

??

An der Temperaturkurve ist bei  $0^{\circ}\text{C}$  ein kurzes Gleichbleiben der Temperatur zu beobachten. Dies ist darauf zurückzuführen, dass sich Eis um den Stab gebildet hat. Dieses schmilzt bei  $0^{\circ}\text{C}$  und hält den Stab so kurzzeitig auf einer konstanten Temperatur.

## 5.2 Auswertung

Aus den gemessenen Daten kann der Wärmeausdehnungskoeffizient  $\alpha$  des verwendeten Stabes in Abhängigkeit von der Temperatur bestimmt werden. Dafür werden in dieser Auswertung zwei verschiedene Methoden verwendet und anschließend miteinander verglichen.

### 5.2.1 Einteilung der Messwerte in Fraktionen

Bei dieser Methode werden die Messwerte möglichst gleichmäßig in Fraktionen eingeteilt und jeweils innerhalb dieser der Mittelwert von  $dN/dt$  gebildet.

(Die Mittelwertbildung ist aus mehreren Gründen gerechtfertigt: Zum Einen wird gerade ein gemittelter Wärmeausdehnungskoeffizient bestimmt. Zum anderen kann  $dN/dt$  in den Fraktionen als linear approximiert werden, wodurch sich Abweichungen vom Mittelwert

Fraktion	Zeitintervalle in s	$\Delta T$ in $^{\circ}C$
1	[20, 180]	26,5
2	[200, 340]	18,9
3	[420, 500]	8,7
4	[560, 700]	11,1
5	[760, 880]	7,9
6	[900,1000]	6,1
7	[1080,1120]	1,9
8	[1160,1260]	4,4
9	[1280,1360]	3,6
10	[1440,1600]	4,6
11	[1640,1780]	2,9
12	[1840,1940]	1,8
13	[2000,2080]	1,3
14	[2160,2220]	0,7

Tabelle 2: Einteilung in Fraktionen

durch die Linearität gegenseitig aufheben.) Außerdem werden aus den zu den Fraktionen passenden Zeitintervallen die entsprechenden Zeitdifferenzen errechnet. Aus den so bestimmten Größen kann dann für jede Fraktion ein mittlerer Wärmeausdehnungskoeffizient folgendermaßen ermittelt werden:

$$\alpha(T) = \frac{\Delta L(T)}{L_0} \cdot \Delta T \quad (21)$$

Aus  $\Delta L = \frac{\lambda}{2} \cdot \Delta N$  folgt:

$$\alpha(T) = \frac{\lambda}{2} \cdot \frac{\Delta N(T)}{L_0} \cdot \Delta T \quad (22)$$

Innerhalb dieser Fraktionen ergeben sich folgende Mittelwerte mit zugehörigen Fehlern:

An Tabelle 3 fällt sofort auf, dass der Fehler in Fraktion 13 Null ist. Dies resultiert daraus, dass alle in dieser Fraktion zusammengefassten Werte gleich 5/10s sind.

5

Für die Fehlerabschätzung von  $\alpha$  wird eine Fehlerfortpflanzung durchgeführt. Dabei sind die Fehler von  $\lambda$  und  $\Delta T$  vernachlässigbar klein. Im Fall von  $\Delta T$  ist der Fehler sogar nicht ermittelbar, da auf Grund der Benutzung von CASSY diesbezüglich keine ausreichenden Angaben vorhanden sind.

Der Fehler von  $L_0$  ist laut Versuchsaufbau 1mm.

Die Fehlerfortpflanzung liefert:

$$\Delta(\alpha) = \frac{\lambda}{2 \cdot \Delta T} \cdot \sqrt{\frac{1}{L_0^2} \cdot (\Delta(\Delta N))^2 + \frac{(\Delta N)^2}{(L_0)^4} \cdot (\Delta L_0)^2} \quad (23)$$

Es ergibt sich so:

Fraktion	Mittelwert von $dN/dt$ in 1/10s	Fehler von $dN/dt$ in 1/10s
1	28,67	1,08
2	26,25	0,92
3	27	0,84
4	22,5	0,73
5	22,43	0,53
6	20,5	0,62
7	18,67	0,33
8	17	0,37
9	15,6	0,68
10	12	0,29
11	8,25	0,16
12	6,33	0,21
13	5	0
14	4	0,41

Tabelle 3: Mittelwerte und Fehler von  $dN/dt$

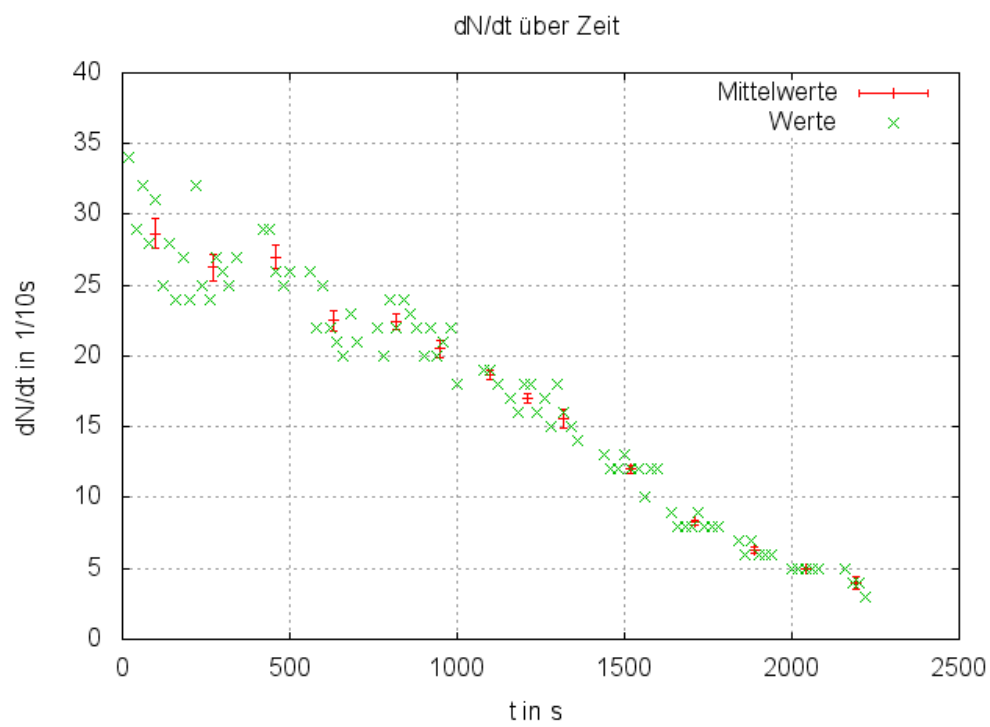


Abbildung 5: Einteilung in Fraktionen



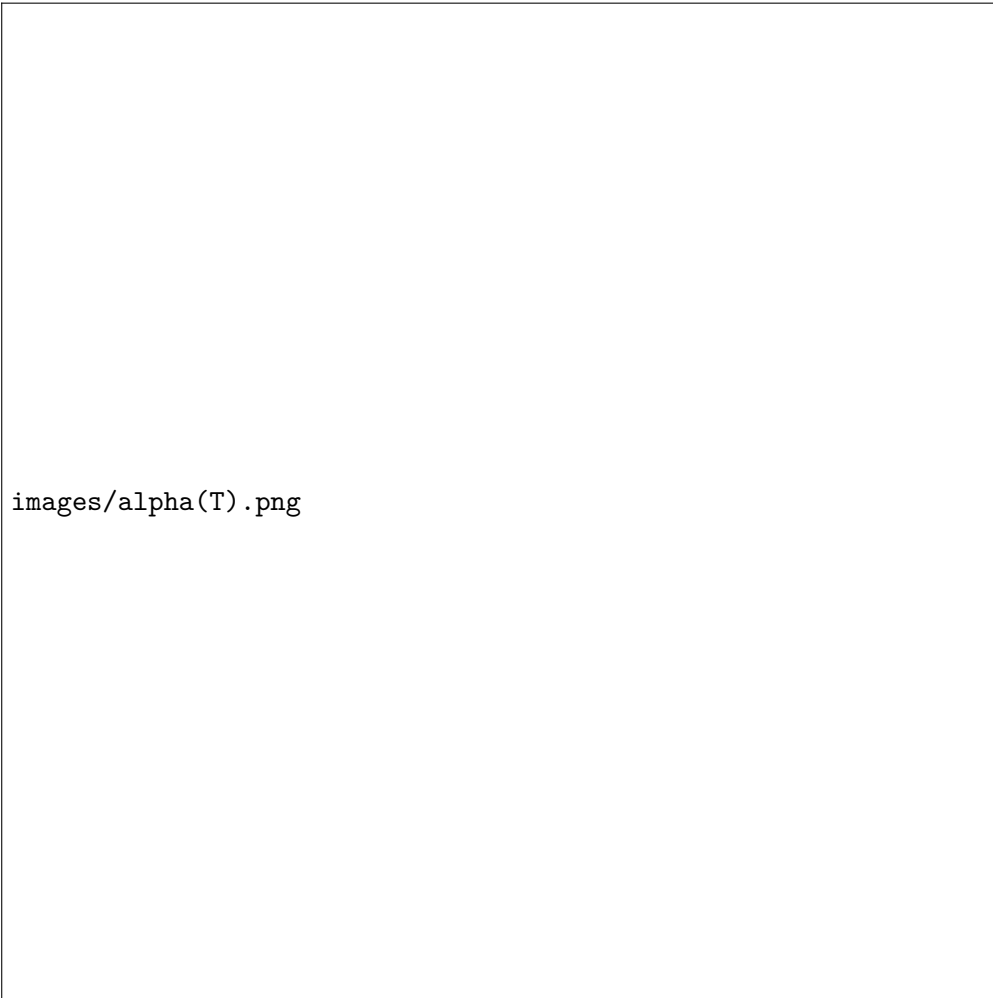


Abbildung 6: Wärmeausdehnungskoeffizient in Abhängigkeit der Temperatur

Mittlere Temperatur in °C	$\alpha$ in $10^{-5} \frac{1}{^\circ C}$	Fehler von $\alpha$ in $10^{-5} \frac{1}{^\circ C}$
-115,6	1,896	0,072
-90,2	2,129	0,075
-66,9	2,719	0,085
-50,1	3,108	0,101
-35,9	3,731	0,089
-27,9	3,680	0,112
-19,2	4,305	0,078
-14,0	4,231	0,093
-9,3	3,797	0,166
-2,1	4,571	0,112
2,1	4,362	0,086
5,3	3,851	0,128
7,7	3,370	0,011
9,4	3,755	0,385

Tabelle 4: Wärmeausdehnungskoeffizient in Abhängigkeit der Temperatur

### 5.2.2 Berechnung des Ausdehnungskoeffizienten durch approximatives Fitten

Bei dieser Methode werden  $dN/dt$  und  $T(t)$  gefittet und daraus der Ausdehnungskoeffizient in Abhängigkeit der Temperatur bestimmt.

$dN/dt$  lässt sich gut mit einem Polynom 5. Grades approximieren:

$$N^* := dN/dt \quad (24)$$

Dabei ergibt sich für

$$N^*(t) = a_0 + a_1 \cdot t + a_2 t^2 + a_3 t^3 + a_4 t^4 + a_5 t^5 : \quad (25)$$

$$\begin{aligned} a_0 &= (3,153 \pm 0,104) s^{-1} \\ a_1 &= (-0,00311 \pm 0,00097) s^{-2} \\ a_2 &= (5,78 \pm 2,65) 10^{-6} s^{-3} \\ a_3 &= (-5,83 \pm 2,99) 10^{-9} s^{-4} \\ a_4 &= (2,33 \pm 1,47) 10^{-12} s^{-5} \\ a_5 &= (-3,21 \pm 2,62) 10^{-16} s^{-6} \end{aligned}$$

$T(t)$  lässt sich sehr gut mit einer e-Funktion approximieren:

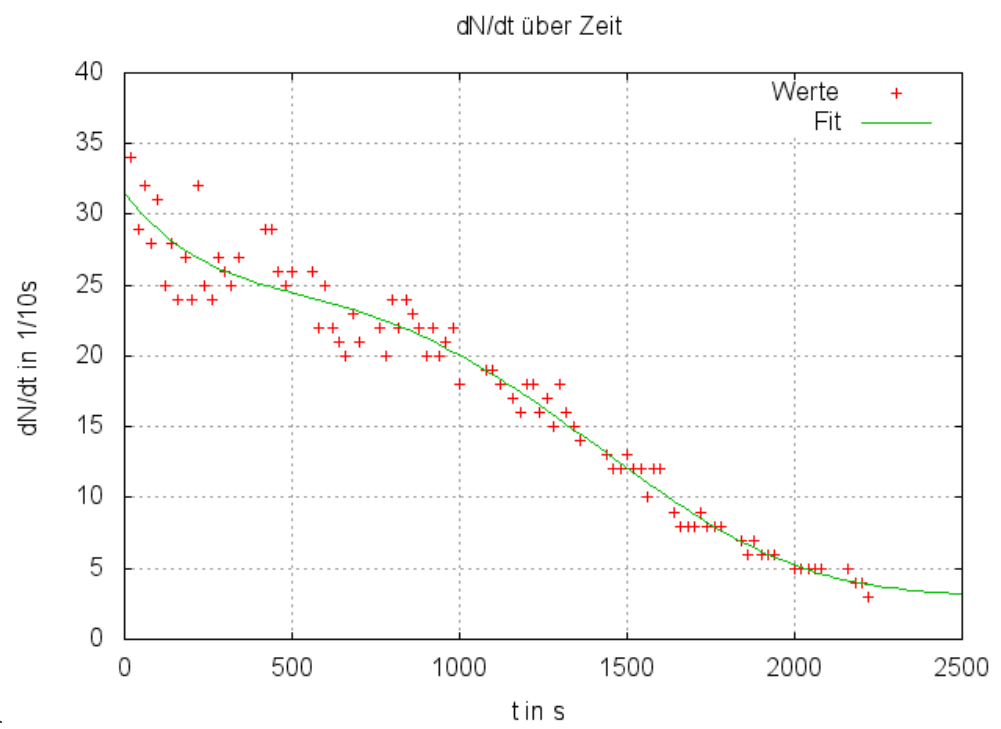
Dabei ergibt sich für  $T(t) = a \cdot e^{bt} + c$  :

$$a = (-154,01 \pm 0,04) ^\circ C, \quad b = (-0,0012499 \pm 0,0000011) s^{-1}, \quad c = (19,91 \pm 0,042) ^\circ C$$

Herleitung einer Formel zur Berechnung des Ausdehnungskoeffizienten:

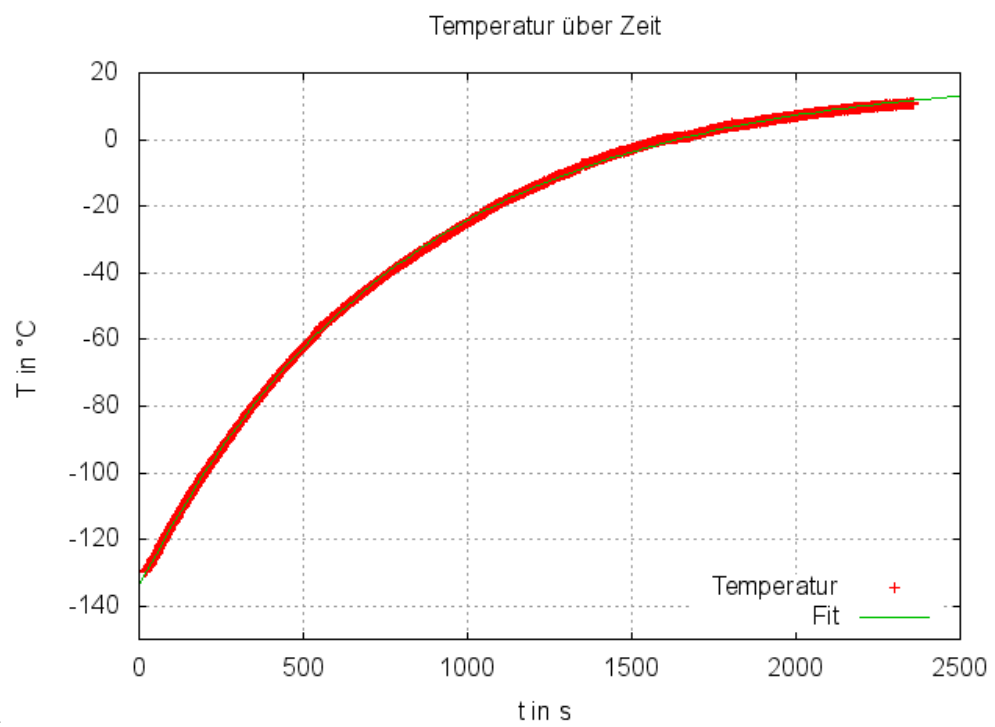
Wegen  $\Delta L = \alpha \cdot L_0 \cdot \Delta T$  folgt:

$$\alpha(T) = \frac{1}{L_0} \frac{\partial L}{\partial T} \quad (26)$$



dNdt(t).png

Abbildung 7: Fit von  $\frac{dN}{dt}$



T(t).png

Abbildung 8: Fit von  $T(t)$

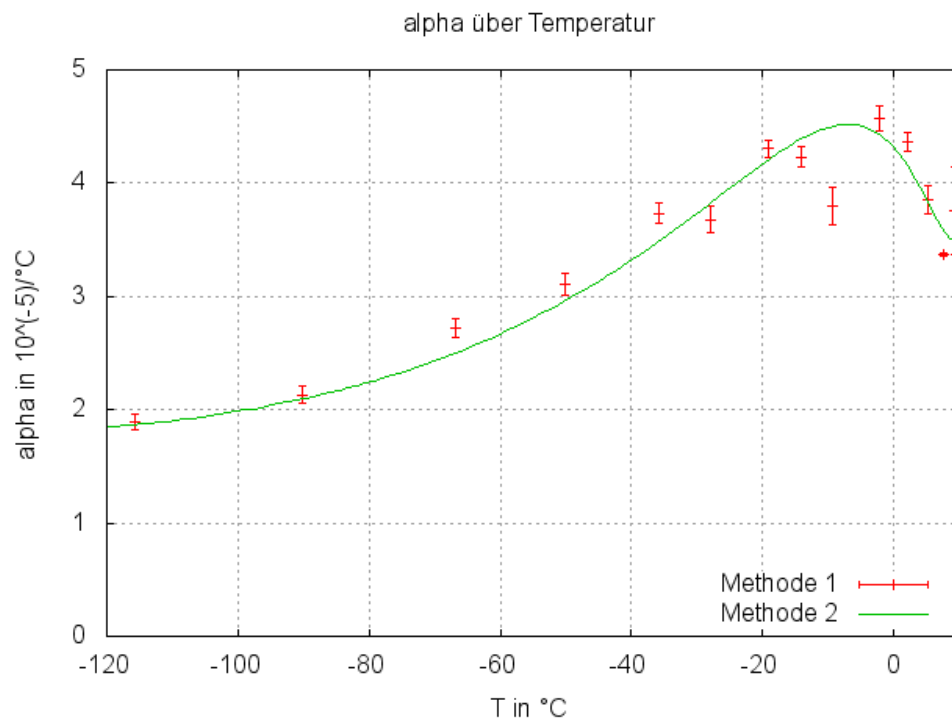


Abbildung 9: Vergleich zwischen Methode 1 und 2

Außerdem gilt:

$$L = \frac{\lambda}{2} N \quad (27)$$

$$\Rightarrow \alpha(T) = \frac{1}{L_0} \frac{\lambda}{2} \frac{\partial N}{\partial T} = \frac{\lambda}{2} \cdot L_0 \frac{\partial N}{\partial t} \frac{\partial t}{\partial T} \quad (28)$$

$$\Rightarrow \alpha(T) = \frac{\lambda}{2 \cdot L_0} \frac{N'(t(T))}{T'(t(T))} \quad (29)$$

mit

Dann ergibt sich folgender Graph:

Aus beiden Methoden lässt sich folgern, dass der mittlere Wärmeausdehnungskoeffizient des Stabs von der Temperatur abhängig ist.

### 5.3 Fazit

Der Bau des Interferometers hat sich als sehr schwierig herausgestellt, da die Spiegel sehr genau ausgerichtet sein müssen. Weitere Probleme sind bei der Messung der Ausdehnung des Stabs entstanden. Der vom Stab geschobene Spiegel musste so auf einer Schiene befestigt sein, dass er sich dabei nicht verdreht. Durch das Zählen von Interferenzringen

konnten dennoch Messungen durchgeführt werden, welche damit die Funktionstüchtigkeit des Michelson-Interferometers bestätigten.